УДК 622.331

В.Д. Копенкин, Л.В. Копенкина, Л.Н. Самсонов РАЗВИТИЕ ТЕХНИКИ ПНЕВМАТИЧЕСКОЙ УБОРКИ ФРЕЗЕРНОГО ТОРФА

Семинар № 16

представляет собой уборку торфа из расстила в бункер турбулентным потоком воздуха, создаваемым пневматической установкой [1]. Применяется при добыче торфа для брикетирования и подстилки с пониженным содержанием влаги. Производится пневматическими уборочными машинами. Принципиальная схема машины с пневматическим сбором торфа из расстила показана на рис. 1.

С помощью мощного вентилятора из бункера пневмоуборочной машины выкачивается воздух. Бункер через воздуховод соединен с соплами, имеющими длинные узкие щели высотой 0,05-0,06 м, шириной 1,0-1,2 м. При движении машины сопла перемещаются непосредственно над расстилом фрезерной крошки. Через эти щели с большой скоростью всасывается воздух, который проходит через бункер и вентилятором выбрасывается в атмосферу. Турбулентный поток воздуха, имеющий скорость у входа в сопло 25-30 м/с, захватывает частицы торфа и увлекает их за собой. Для перемещения фрезерного торфа по трубопроводам необходима скорость движения воздуха, превышающая критическую (скорость витания). Скорость витания зависит от плотности и размеров частиц и приближенно определяется по формуле [2]

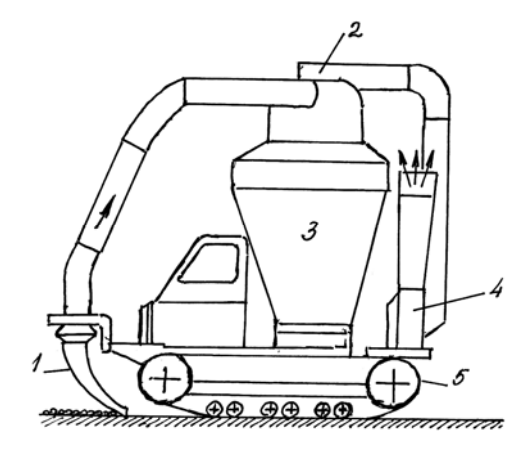
Рис. 1. Принципиальная схема машины с пневматическим сбором торфа из расстила: 1 – сопло; 2 – циклон; 3 – бункер; 4 – вентилятор; 5 – гусеничный хол

$$v_e = 4.7 \cdot \sqrt{d\gamma},\tag{1}$$

где d — диаметр частиц (средний размер поперечника), м; γ — плотность частиц, $\kappa \Gamma / M^3$.

Скорость витания частиц фрезерной крошки при уборочной влажности 40–45 % обычно не превышает 10 м/с, поэтому скорость аэросмеси в трубопроводах принимают равной 15–18 м/с [2].

Для осаждения частиц торфа в бункере машины перед входом в бункер устанавливают циклон. В циклоне смесь получает винтовое движение; в конце пути скорость потока резко падает. Частицы торфа под действием центробежной силы прижимаются к наружным стенкам осадителя, постепенно теряя скорость и оседая в бункере. Унос мелких частиц торфа в пневматических уборочных машинах достигает 3–5 % собранного торфа. С повышением степени разложения торфа, способствующим уменьшению размеров частиц, и с понижением влажности унос торфа увеличива-



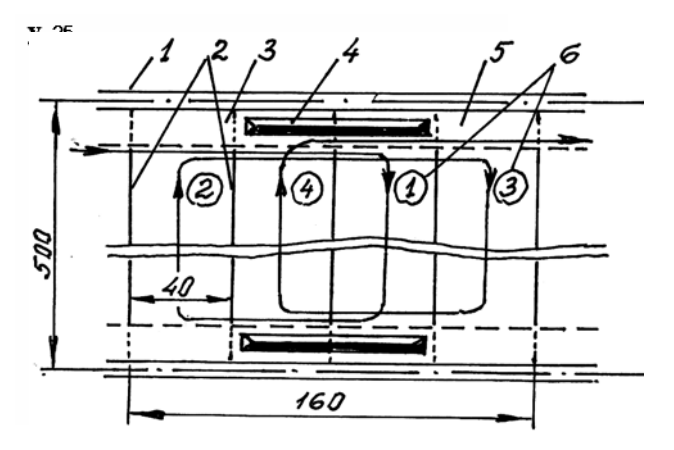
ется.

Пневматическая уборка фрезерного торфа непосредственно из расстила имеет ряд преимуществ по сравнению с механической уборкой. За счет исключения операции валкования упрощается технологическая схема. Представляется возможность убирать торф кондиционной влажности даже при повышенной влажности сфрезерованного слоя. Увеличивается число уборочных циклов и сезонный сбор повышается на 40–50 %.

Впервые способ пневматической уборки торфа был применен в СССР в 1930 году (С.Г. Солопов, М.И. Сарматов, Е.В. Чарнко): в Институте торфа был создан пневматический комбайн КП-1. В 1950-е годы под руководством М.И. Сарматова была разработана первая модель прицепной к трактору ДТ-54 пневматической уборочной машины ПУМ [2]. В конце 1950-x годов Всесоюзный научноисследовательский институт торфяной промышленности (ВНИИТП, г. Ленинград) разработал и сдал в производство самоходный бункерный комбайн БПФ. С момента появления пневматического комбайна БПФ в 1957 году до середины 1970х годов промышленностью было выпущено несколько моделей этих машин (БПФ-1, БПФ-2, БПФ-2М, БПФ-2А, БПФ-3, БПФ-3М и др.). При совершенствовании пневмокомбайнов изменения конструкций отдельных узлов. Пневмокомбайны состояли из двух отдельных агрегатов - самоходной бункерной пневмоуборочной машины с лобовым расположением сопел пневмосистемы и прицепного фрезера. Такая комбинация позволяла производить одновременно две операции: пневматическую уборку фрезерного торфа из расстила и фрезерование освободившейся поверхности залежи. На машине БПФ-3М установлен дизельный двигатель мощностью 158 кВт, позволяющий выполнять операции одновременно по уборке торфа и фрезерованию залежи. Основные части комбайна - четыре сопла, трубопроводы, два циклонаосадителя, бункер с разгрузочным устройством, вентилятор, двигатель, гусеничный ход и штифтовой фрезер. Шарнирная подвеска сопел позволяет им копировать поверхность рельефа полей сушки. При повороте и холостых ходах машины сопла с помощью гидравлического подъемника при-поднимаются над поверхностью залежи примерно на 350 мм. Центральный вентилятор обеспечивает расход воздуха через сопла до 10 м³/с, благодаря чему скорость воздуха у входа в сопло достигает 30-35 м/с. В приемной коробке вентилятора помещены четыре лопатки направляющего аппарата, с помощью которых можно регулировать расход воздуха и скорость его поступления в сопла. Нижний пояс бункера одновременно является рамой конвейера, используемого для выгрузки фрезерной крошки из бункера на откосы штабелей - по такому же принципу, как и у скреперно-бункерных машин [2]. Во избежание чрезмерных прососов воздуха подвижная крышка разгрузочного люка и нижние кромки задней и боковых стенок бункера окантованы резиной. Во время сбора торфа крышка люка плотно прилегает к стенкам бункера и к ленте конвейера.

Размеры технологической площадки и схемы движения комбайнов БПФ показаны на рис. 2. Направление движения комбайнов (по часовой стрелке) определяется положением разгрузочного устройства: разгрузочное устройство на комбайне располагается слева по ходу движения.

Сезонная производительность пневмокомбайна рассчитывается по формуле [2]: $G_{ces}=0,36\cdot b\cdot v_{cp}\cdot k_b\cdot k\cdot_v k_u\cdot k_t\cdot t_{cym}\cdot \tau_u\cdot q_c,$ где b – рабочая ширина захвата сопел (для БПФ-3М b=4,8 м); v_{cp} – средняя расчетная скорость пневмокомбайна (1,6 – 1,8 м/с); k_b – коэффициент использования ширины захвата (0,95); k_v – коэффициент использования скорости (0,95); k_u – коэффициент использования циклового времени (0,78); k_t – коэффициент использования



рабочего времени (0,81); t_{cym} – число часов работы в сутки (16 ч); τ_{y} – число дней в цикле (τ_{y} = 1); q_{c} – сезонный сбор торфа при пневмоуборке (в среднем от 270 до 720 т/га).

При этих условиях средняя расчетная производительность пневмокомбайна составляет от 4260 до 11350 т.

Наибольшее распространение на предприятиях торфяной промышленности пневмокомбайны БПФ получили в середине 1960-х и в 1970-х годах. По отчетным данным предприятий промышленности в 1978 году пневмокомбайны БПФ применялись на 22-х предприятиях (155 машин). Добыто торфа 813,8 тыс. т (в среднем на один комбайн 5250 т). В 1979 году на 19 предприятиях промышленности работали 135 комбайнов. Добыча торфа составила 1458 тыс. т (в среднем на один комбайн 10,8 тыс. т). Столь существенная разница в показателях добычи фрезерного торфа с применением пневмокомбайнов объясняется крайне неблагоприятными погодными условиями 1978 года (по сравнению с 1979-м).

Из-за сложностей применения пневмокомбайнов, особенно на залежах верхового типа, выпуск комбайнов БПФ в начале 1980-х годов был прекращен. Промышленности был предложен разработанный ВНИИТП высокопроизводительный пневмокомбайн КПФ-6,4 с увеличенным количеством сопел (6 вместо 4-х у БПФ), уве-

Рис. 2. Схема технологической площадки для пневмоуборочных комбайнов БПФ на залежи низинного торфа: 1 — валовый канал; 2 — картовые каналы; 3 — подштабельная (кантовочная) полоса; 4 — штабель; 5 — карта; 6 — последовательность обработки карт при пневмоуборке

личенной мощностью двигателя (175 кВт). Объем бункера был увеличен до 29 м 3 (полезный объем – 23 м 3). Расчетная производительность пневмокомбайна возросла почти в два

раза. Однако этот пневмокомбайн не получил столь широкого распространения, как его предшественник. Ограниченное применение в промышленности нашли и прицепные пневмоуборочные машины типа ППФ-3 (ППФ-5, ППФ-6) для уборки торфа в основном на подстилку, а также пневмовалкователи ПВП-8 [2].

Существенный вклад в развитие и совершенствование техники пневматической уборки фрезерного торфа внесли диссертационные исследования в этой области [3–21]. Поток диссертационных исследований в области пневматической уборки фрезерного торфа (рис. 3) может быть отображен моделью логистической кривой

$$y = 20 / (1 + 16.4 \exp(-0.255 t)),$$
 (3)

где t — время от начала защиты диссертаций в рассматриваемой научной области.

Подавляющая часть диссертационных исследований была посвящена исследованию работы сопла, аэродинамике всасывания торфяной крошки, активизации слоя фрезерной крошки воздушным потоком, механической активизацией (щеткой) [3, 6, 11, 12, 13, 19], исследованию процесса транспортирования, сопротивления движению с малой и высокой концентрациями, в поворотах трубопроводов [4, 9, 15, 16, 18, 21].

Значительно меньшая часть диссертаций была посвящена исследованию процессов отделения торфа от аэросмеси [7, 8, 14, 20], изучению физико-механических свойств торфяной крошки и расстила как объекта пневмоуборки [5, 17]. Особняком стоит работа, посвященная применению стеклопластиков в крупногабаритных узлах пневмокомбайнов [10].

В истории развития торфяной отрасли на долю пневматической уборки торфа приходилось не более 5 % количества убираемого торфа [1]. За рубежом (в Финляндии и в наши дни) используют пневматические торфоуборочные машины малой производительности, что связано с небольшими объемами добычи [1]. В России происходит осознание того, что «в современной ситуации не может быть и речи о крупной торфоперерабатывающей промышленности». Такое утверждение приводится в «Концепции рационального ис-

Рис. 3. Поток диссертационных исследований в области пневматической уборки фрезерного торфа

пользования торфяных ресурсов России» (Томск, 2003). Учитывая эти обстоятельства, можно полагать, пневматические торфоуборочные машины будущего – это прицепные к гусеничным или колесным тракторам машины, обеспечивающие уборку не примятого ходовой частью машин торфа (при боковом расположении сопел такое невозможно), снабженные эффективно работающими соплами, циклонами-осади-телями и средствами быстрой разгрузки бункеров. Сезонная производительность таких машин может составлять 3–5 тыс. т.

СПИСОК ЛИТЕРАТУРЫ

- 1. Горная энциклопедия / Гл. ред. Е.А. Козловский. М.: Сов. энциклопедия. 1991. Том
- 2. Антонов В.Я., Копенкин В.Д. Технология и комплексная механизация торфяного производства. М.: Недра, 1983. 287 с.
- 3. *Терпиловский К.Ф.* Исследование работы сопла при пневматической уборке переработанного фрезерного торфа: Автореферат дис... канд. техн. наук. Минск: БПИ, 1959. 15 с.
- 4. *Горцакалян Л.О.* Исследование процесса транспортирования фрезерного торфа пневматическим способом: Дис... канд. техн. наук. Калинин: КТИ, 1961. 201 с.
- 5. *Кислов Н.В.* Исследование физикомеханических и аэродинамических свойств переработанного фрезерного торфа: Автореферат дис... канд. техн. наук. Минск: БПИ, 1964. 28 с.
- 6. Аршавский М.П. Аэродинамика всасывания торфяной фрезерной крошки из свободно лежащего слоя: Дис... канд. техн. наук. Калинин: КПИ, 1967. 182 с.
- 7. Зальцман А.М. Исследование пневматической сепарации торфяных частиц: Автореферат дис... канд. техн. наук. Минск: БПИ, 1967. 21 с.
- 8. Лиходиевский В.Л. Совмещенный процесс сушки и пневматической классификации фрезерного торфа: Дис... канд. техн. наук. Калинин: КПИ, 1967. 244 с.

- 9. Пономарев В.М. Исследование сопротивлений плавных и сегментных отводов при пневматическом транспортировании фрезерного торфа с малой и высокой концентрациями аэросмеси: Дис... канд. техн. наук. Калинин: КПИ, 1967. 184 с.
- 10. Телешев В.А. Исследование вопросов применения стеклопластиков в крупногабаритных узлах торфяных машин (на примере комбайна БПФ-2МГ): Дис... канд. техн. наук. Калинин: КПИ 1968. 169 с.
- 11. Никифоров А.С. Исследование пневматической системы валкователя для уборки фрезерного торфа с активизацией расстила воздухом: Дис... канд. техн. наук. Калинин: КПИ, 1969. 212 с.
- 12. Чернышев В.В. Исследование процесса сбора торфяной фрезкрошки из расстила всасывающими соплами с активизацией слоя нагнетательным воздушным потоком: Дис... канд. техн. наук. Калинин: КПИ, 1971. 197 с.
- 13. Волкус С.П. Исследование работы сопел пневмоуборочных торфяных машин: Автореферат дис... канд. техн. наук. Минск: БПИ, 1971. 23 с.
- 14. Горбач Н.И. Исследование очистки воздуха от торфяной пыли матерчатыми фильтрами и некоторые вопросы их аэродинамики: Автореферат дис... канд. техн. наук. Минск: БПИ, 1971. 23 с.
- 15. Савицкий В.П. Исследование сопротивления движению торфовоздушной смеси в

поворотах трубопроводов: Авторе-ферат дис... канд. техн. наук. – Минск: БПИ, 1972. – 20 с.

- 16. *Ильин В.Я.* Исследование процесса транспортирования фрезерного торфа пневматическим способом с различными концентрациями аэросмеси: Дис... канд. техн. наук. Калинин: КПИ, 1973. 242 с.
- 17. Болтушкин А.Н. Исследование параметров расстила фрезерного торфа с целью выявления рациональных режимов работы пневмокомбайнов: Дис... канд. техн. наук. Калинин: КПИ, 1973. 247 с.
- 18. Бакшанский В.И. Исследование пневматического транспортирования измельченного торфа при повышенных концентрациях аэросмеси:

- Автореферат дис... канд. техн. наук. Минск: БПИ, 1978. 21 с.
- 19. Ворзонин В.А. Исследование процесса пневматической уборки фрезерного торфа с применением щеточного активизатора: Дис... канд. техн. наук. Калинин: КПИ, 1978. 255 с.
- 20. Кащенко Л.С. Исследование отделения фрезерного торфа из торфовоздущной смеси в пневматических уборочных машинах и комбайнах: Дис... канд. техн. наук. Калинин: КПИ, 1979. 251 с
- 21. *Кислов Н.В.* Разработка принципов перемещения измельченного торфа воздушным потоком в торфяном производстве: Автореферат дис... д-ра. техн. наук. Минск: АН БССР, 1982. 44 с.

Коротко об авторах

Копенкин В.Д. – профессор кафедры технологии и комплексной механизации разработки торфяных месторождений,

Копенкина Л.В. – кандидат технических наук, доцент кафедры торфяных машин и оборудования, Самсонов Л.H. – доктор технических наук, профессор, зав. кафедрой торфяных машин и оборулования.

Тверской государственный технический университет.



© П.А. Горбатов, Е.А. Воробьев, 2006

УДК 622.232.72

П.А. Горбатов, Е.А. Воробьев

ОСОБЕННОСТИ ФОРМИРОВАНИЯ ДИНАМИЧЕСКИХ НАГРУ-ЗОК ДЛЯ ОЧИСТНЫХ КОМБАЙНОВ С ПОВОРОТНЫМИ БЛОКАМИ РЕЗАНИЯ

Семинар № 16

• О чистные комбайны с поворотными блоками резания (ПБР), созданные с учетом современных тенденций развития очистной техники, имеют ряд особенностей динамической структуры подсистем привода и подвески и перемещения исполнительного органа (соответственно подсистем ПИО и ППО). К этим особенностям можно отнести формирование подсистемы ПИО в виде ПБР с индивидуальным электродвигателем, как правило, выходным планетарным механизмом и короткой кинематической цепью редуктора и подсистемы ППО на основе ПБР и гидродомкрата подвески.

Наличие особенностей динамической структуры таких машин обусловливает необходимость установления закономерностей формирования динамической нагруженности их подсистем при разрушении пластов разного строения.

исследований Лля динамического функционирования очистных комбайнов с ПБР была разработана замкнутая математическая модель [1], позволяющая реализовать различные режимы работы комбайна. С использованием этой модели были установлены закономерности формирования динамических процессов в рассматриваемых подсистемах ПИО и ППО при разрушении комбайном ГШ500 такого класса угольных пластов простого (массив 1) и сложного (массив 2) строения шнековыми исполнительными органами с $D_{U} = 1,25$ м и $B_3 = 0.63$ м. Представительность принятых при имитационном моделировании значений мощности пластов $H_P = 2.04$ м, сопротивляемости угля резания в неотжатой зоне $A_p = 208$ H/мм, показателя степени хрупкости E = 1,65, скорости подачи $V_{II} = 4,78$ м/мин обоснована в [2]. Угол наклона пласта $\alpha = 0$ °.

Пласт сложного строения кроме трех угольных пачек с вышеуказанными характеристиками содержит два породных прослойка из аргиллита мощностью 245 мм, каждый из которых расположен на расстоянии 502,5 мм от соответствующей

границы "уголь — вмещающие породы". Сопротивляемость резанию прослойков 350 H/мм.

Основные результаты имитационного моделирования разрушения очистным комбайном пластов разного строения в установившемся режиме сведены в таблицу, а на рисунке приведены нормированные спектральные плотности G(f) некоторых динамических процессов при разрушении массива 2.

В таблице в числителе приведены данные с учетом внешних связей (кроме $M_{ЛД}$, $M_{ПД}$) при работе комбайна по разрушению массива I, в знаменателе – массива 2. Два плюса указывают на доминирование в соответствующем процессе указанных колебательных составляющих, один плюс – на наличие сравнительно весомых выделяемых компонентов в спектральном составе процессов.

В таблице и на рисунке приняты следующие обозначения:

- индексы "Л" и "П" соответствуют подсистемам, относящимся к отстающему левому и опережающему правому исполнительному органу (ИО);
- $-M_{\Pi\!\Pi}$, $M_{\Pi\!\Pi}$ детерминированные составляющие моментов внешней нагрузки на ИО, обусловленные кинематикой и расстановкой резцов на органе, разрушением неоднородного *массива 2* из-за разных физико-механи-ческих свойств слагающих массив слоев (определены при реализации гипотетического режима отсутствия колебательных процессов в подсистемах машины);
- М_{ЛВН}, М_{ПВН} полные моменты внешней нагрузки на ИО, обусловленные детерминированными, случайными и проявляющимися вследствие наличия внешних связей компонентами;
- $M_{\Pi TP},~M_{\Pi TP}$ моменты в редукторах подсистем ПИО;
- $M_{\it ЛЭД},~M_{\it ПЭД},~-$ электромагнитные моменты приводных электродвигателей подсистем ПИО;

- $M_{ЛІІ}, M_{ПІІ}$ моменты в подсистемах ППО;
- МО и КВ математические ожидания и коэффициенты вариации процессов:
- ВС внешние связи между комбайном и разрушаемым массивом, отражающие динамические взаимозависимости между колебаниями ИО в составе силовых подсистем машины и реакцией горного массива на эти колебания [3].

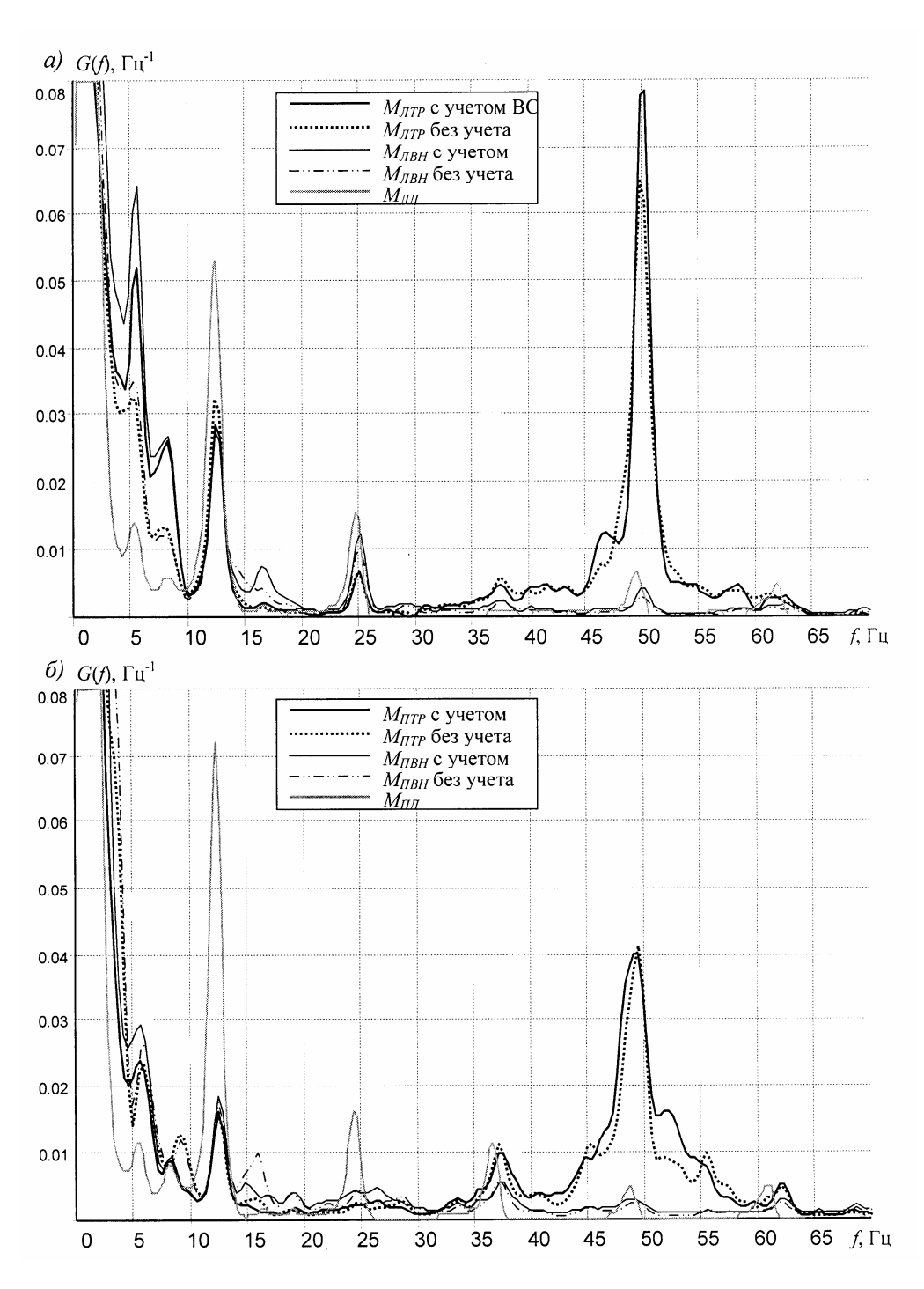
Значения собственных частот колебаний силовых подсистем: для подсистемы ПИО $f_H = 12.6 \, \Gamma$ ц, $f_B = 49.8 \, \Gamma$ ц; для подсистем подвески левого отстающего $f_{ЛІІ} = 19.4 \, \Gamma$ ц и правого опережающего $f_{ЛІІ} = 15.2 \, \Gamma$ ц органов; для подсистемы перемещения с жестким тяговым органом $f_{II} = 4.8 \, \Gamma$ ц.

Частота $f_{HB} = 1.4$ Γ ц соответствует удвоенной частоте вращения ИО, равной 0.7 Γ п

Анализ результатов имитационного моделирования (в том числе и не приведенных в таблице и на рисунке) позволяет сделать следующие основные выводы.

• Динамичность нагрузок в подсистемах комбайна с ПБР является высокой, особенно при разрушении массива 2, характеризуется широким спектральным составом и наличием достаточно большого числа составляющих с высокой относительной долей дисперсии. При этом КВ нагрузок в подсистеме ПИО для отстающего органа существенно выше, чем для опережающего для обоих опытов, а для подсистем ППО – наоборот.

- Значения коэффициентов вариации и распределение относительных дисперсий составляющих динамических процессов в значительной степени зависит от разрушаемого массива.
- В спектре детерминированных составляющих моментов внешней нагрузки на ИО при выемке обоих массивов доминируют низкочастотные составляющие с частотой 1,4 Гц, обусловленные прежде всего неоптимальностью схемы расстановки резцов на органе. Кроме того, при разрушении массива 2 с породными прослойками с весомой долей дисперсии в этих процессах присутствуют составляющие с частотой $11 - 12 \Gamma$ ц, близкой к низшей собственной частоте подсистем ПИО; в процессах $M_{\it П\it II}$ и $M_{\it III}$ наблюдаются также компоненты с частотами порядка 5 - 6 Γ ц, 49 - 50 Γ ц и 24 - 25 Γ ц, близкими к собственным частотам подсистем перемещения и привода исполнительного органа, а также к частоте вращения ротора электродвигателя (около 25 Гц). Кроме того, в спектральном составе нагрузок $M_{\it Л\it II}$ и $M_{\Pi \Pi}$ выделяются другие составляющие (см. таблицу), что наиболее ярко проявляется при разрушении массива 2.
- В спектральном составе скорости подачи V_{II} доминируют компоненты с частотой 4,5 Γ ц, близкой к собственной



Нормированные спектральные плотности процессов M_{TP} , M_{BH} , $M_{\mathcal{A}}$ для подсистем привода левого (a) и правого (б) ИО

частоте подсистемы перемещения, кроме того, при разрушении *массива1* выделяются также составляющие с f = 1,4 Γ ц.

- Спектральные плотности процессов $M_{\Pi TP}$, $M_{\Pi TP}$ без учета и с учетом внешних связей по перемещениям (проявляются через колебания толщины стружки) и скоростям (проявляются через колебания заднего и резания углов и проекции площадок затупления на резцах) имеют отличия. Указанные отличия в большей степени проявляются при разрушении массива 2. Это отчетливо видно на рисунке, например, из рассмотрения частотных областей 3–10 Γ ц для процесса $M_{\Pi TP}$ и 50–55 Γ ц для момента $M_{\Pi TP}$ и обусловлено в данном случае эффектами проявления внешних связей, эквивалентными возбуждению, дестабилизации колебаний [3].
- Спектральные плотности процессов в подсистемах ПИО и ППО определяются спектральным составом, в том числе детерминированными составляющими внешней нагрузки, динамическими характеристиками подсистем и воздействием внешних связей. При этом:
- наиболее мощные составляющие детерминированного характера с частотой $1.4~\Gamma$ ц входят в состав доминирующих компонентов для нагрузок-откликов $M_{TP},~M_{2\mathcal{A}},$ M_{II} всех подсистем ПИО и ППО при разрушении массивов 1 и 2;
 - нагрузки M_{JTP} , M_{JIJJ} , M_{ITTP} харак-

- теризуются более широким составом выделяемых составляющих детерминированного характера при разрушении *массива 2*;
- на механических участках подсистем ПИО доминирует высшая форма колебаний с частотой f_B , на участках электродвигателей низшая с частотой f_H ;
- практическое отсутствие авторезонансных составляющих с частотой $f_{ЛІЛ}$ и $f_{ΠІЛ}$ в составе нагрузок $M_{ЛІЛ}$ и $M_{ΠІЛ}$ обусловлено достаточно высокими зна-чениями диссипативных характеристик подсистем ППО [3].

Учитывая высокую динамическую нагруженность редукторов комбайнов с ПБР и высокую долю авторезонансных составляющих с частотами f_B , можно сделать вывод о необходимости размещения в подсистемах ПИО таких машин корректирующих динамических звеньев. Наличие таких устройств позволит снизить как долю высокочастотных составляющих, так и значение f_B , а, следовательно, и количество циклов действия нагрузок, что повысит ресурс элементов силовых подсистем и в целом надежность машины. Оптимизацию динамических свойств подсистем ПИО необходимо производить с учетом формирования детерминированных составляющих внешних нагрузок и внешних связей в системе "комбайнзабой".

СПИСОК ЛИТЕРАТУРЫ

- 1. Горбатов П.А., Воробьев Е.А. Математическая модель очистного комбайна с поворотными блоками резания для прогнозирования нагрузок в подсистемах привода и подвески исполнительных органов //Наукові праці Донецького державного технічного університету. Випуск 16, серія гірничо-електромеха-нічна. Донецьк: ДонДТУ, 2000. С. 63 70.
- 2. Горбатов П.А., Воробьев Е.А. Закономерности формирования динамических процессов в подсистемах очистных комбайнов
- с различными структурными решениями //Наукові праці Донецького державного технічного університету. Випуск 27, серія гірничо-електромеханічна. Донецьк: ДонДТУ, 2001. С. 123 128.
- 3. *Горбатов П.А.* Теория функционирования и совершенствование очистных комбайнов как нелинейных динамических систем: Дис. ... докт. техн. наук. Донецк, 1991. 510 с.

Коротко об авторах

Горбатов П.А., Воробьев Е.А. – Донецкий национальный технический университет.